Конструирование
Производство
Дистрибуция

НПК ТЕКО - ИНН 7453019186

г. Челябинск, ул. Кислицина, 100
8 (800) 333-70-75, 8 (351) 240-84-83
sale@teko-com.ru
teko-com.ru



LR14XBF15DPCB-E2 Индуктивный датчик

Описание

LR14XBF15DPCB-E2 - Индуктивный датчик производителя Lanbao.

Датчик работает по принципу демпфирования электромагнитного поля при приближении металлического объекта к чувствительной поверхности. Это приводит к срабатыванию порогового устройства и переключению выходного сигнала.

Корпус: **Цилиндрический резьбовой**; материал — Нерж. сталь; со степенью защиты IP68; Способ установки: **Встраиваемый**; Рабочая температура : от -25 до 80.

Электрические характеристики: 4х проводный; DC; (10 ... 30); (NC); выход — PNP; Номинальное расстояние срабатывания — 1,5 мм.

Технические характеристики

Бренд	Lanbao

г. Челябинск, ул. Кислицина, 100
8 (800) 333-70-75, 8 (351) 240-84-83
sale@teko-com.ru
teko-com.ru

Корпус	Цилиндрический резьбовой
Материал корпуса	Нерж. сталь
Расстояние срабатывания, мм	1,5
Монтажное исполнение	Встраиваемый
Диаметр резьбового корпуса, мм	M14x1
Длина цилиндрического корпуса, мм	63,4
Тип напряжения питания	DC
Напряжение питания, В	10 ... 30
Максимальный рабочий ток, мА	100
Количество проводов (pin)	4
Тип выходного сигнала	Дискретный
Структура выхода	PNP
Функция переключения	НЗ Размыкающий
Температурное исполнение	Общепромышленный
Частота переключения, Гц	600
Минимальная рабочая температура, °C	-25
Максимальная рабочая температура, °C	80
Индикация	Нет
Комплексная защита	Есть
Максимальное давление, МПа	50
Специальное назначение	Для работы в среде высокого давления
Способ подключения	Разъем

г. Челябинск, ул. Кислицина, 100
8 (800) 333-70-75, 8 (351) 240-84-83
sale@teko-com.ru
teko-com.ru

Степень защиты	IP68
Тип разъема	Штекер M12

Дополнительная информация

Рисунок 1



г. Челябинск, ул. Кислицина, 100
8 (800) 333-70-75, 8 (351) 240-84-83
sale@teko-com.ru
teko-com.ru

Рисунок 2



г. Челябинск, ул. Кислицина, 100
8 (800) 333-70-75, 8 (351) 240-84-83
sale@teko-com.ru
teko-com.ru

Рисунок 3



Рисунок 4

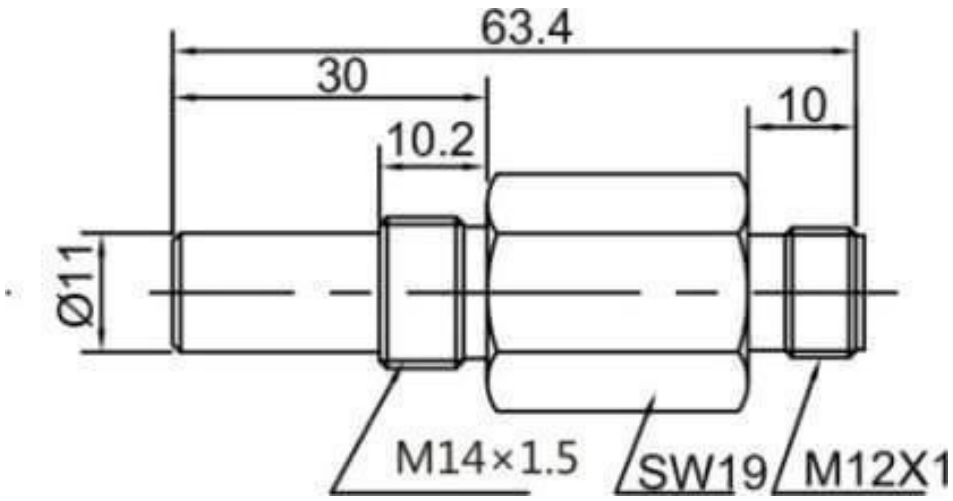


Рисунок 5

